

УДК 544.2

## АТОМНО-СЛОЕВОЕ ОСАЖДЕНИЕ АЛЮМИНИЙ-МОЛИБДЕНОВЫХ ОКСИДНЫХ ПЛЕНОК С ИСПОЛЬЗОВАНИЕМ ТРИМЕТИЛАЛЮМИНИЯ, ОКСОТЕТРАХЛОРИДА МОЛИБДЕНА И ВОДЫ

© 2023 г. А. М. Максумова<sup>1</sup>, И. С. Бодалёв<sup>2</sup>, С. И. Сулейманов<sup>1</sup>, Н. М.-Р. Алиханов<sup>1</sup>, И. М. Абдуллагатов<sup>1</sup>, \*, М. Х. Рабаданов<sup>1</sup>, А. И. Абдуллагатов<sup>1</sup>

<sup>1</sup>Дагестанский государственный университет, ул. Гаджиева, 43-а, Махачкала, 367000 Россия

<sup>2</sup>Санкт-Петербургский государственный технологический институт, Московский пр., 24-26/49 лит. А, Санкт-Петербург, 190013 Россия

\*e-mail: ilmutdina@gmail.com

Поступила в редакцию 13.01.2023 г.

После доработки 28.02.2023 г.

Принята к публикации 01.03.2023 г.

В работе продемонстрировано атомно-слоевое осаждение (АСО) алюминий-молибденовых оксидных пленок ( $\text{Al}_x\text{Mo}_y\text{O}_z$ ) с использованием триметилалюминия (ТМА,  $\text{Al}(\text{CH}_3)_3$ ), оксогексахлорида молибдена ( $\text{MoOCl}_4$ ) и воды. Исследование процесса роста пленок осуществляли *in situ* с использованием кварцевых пьезоэлектрических микровесов и *ex situ* рентгеновскими методами анализа тонких пленок. АСО  $\text{Al}_x\text{Mo}_y\text{O}_z$  проводили с использованием суперциклов, состоящих из субциклов ТМА/ $\text{H}_2\text{O}$  и  $\text{MoOCl}_4/\text{H}_2\text{O}$ . В работе получены два типа пленок, где соотношение субциклов составляло 1 : 1 (1Al1MoO) и 1 : 7 (1Al7MoO). При 150°C показана линейность роста пленок с постоянной скоростью 3.0 и 5.7 Å/суперцикл для 1Al1MoO и 1Al7MoO соответственно. Плотность полученных пленок составила 3.6 и 3.9 г/см<sup>3</sup> для 1Al1MoO и 1Al7MoO соответственно, а шероховатость была в пределах 20 Å. Степень окисления молибдена в полученных пленках составляла 6+, 5+ и 4+. Рентгенофракционный анализ показал, что полученные пленки имели аморфную структуру.

**Ключевые слова:**  $\text{Al}_x\text{Mo}_y\text{O}_z$ , атомно-слоевое осаждение,  $\text{MoOCl}_4$ , нанопленки

**DOI:** 10.31857/S0002337X2304005X, **EDN:** GMHSWK

### ВВЕДЕНИЕ И ТЕОРЕТИЧЕСКИЙ АНАЛИЗ

Алюминий-молибденовые смешанные оксиды  $\text{Al}_x\text{Mo}_y\text{O}_z$ , их гетерогенные смеси/наноламинаты  $\text{Al}_2\text{O}_3-\text{MoO}_x$ , молибдат алюминия  $\text{Al}_2(\text{MoO}_4)_3$  применяются или имеют перспективы применения в качестве твердофазных электролитов [1], пассивирующих промежуточных слоев в солнечных элементах [2, 3], катализаторов [4, 5], при создании цветных стекол для фотоэлектрических элементов [6], а также в качестве красящих пигментов для керамики [7]. Другой потенциальной областью применения  $\text{Al}_x\text{Mo}_y\text{O}_z$ -покрытий являются сухие смазки. Как и в случаях с твердыми растворами  $\text{CuO}-\text{MoO}_3$ ,  $\text{ZnO}-\text{MoO}_3$ ,  $\text{Cs}_2\text{O}-\text{MoO}_3$  и др., пленки  $\text{Al}_x\text{Mo}_y\text{O}_z$  могут обеспечивать значительное снижение трения и износа при высоких температурах [8, 9].

Ранее тонкие пленки  $\text{Al}_x\text{Mo}_y\text{O}_z$  получали методом плазменно-стимулированного атомно-слоевого осаждения (ПС-АСО) с использованием триметилалюминия  $\text{Al}(\text{CH}_3)_3$ , бис-(трет-бутилимидо)-бис-(диметиламино)молибдена(VI)  $\text{Mo}(\text{NtBu})_2(\text{NMe}_2)_2$

и  $\text{O}_2$  [10]. Метод АСО [11, 12] является одним из продвинутых методов получения высококонформных сложных оксидов типа  $\text{A}_x\text{B}_y\text{O}_z$  с заданным соотношением элементов, которое обеспечивается регулированием соотношения циклов обработки соответствующими прекурсорами [13]. Прецизионность данного метода достигается за счет самоограничивающихся поверхностных реакций, в результате которых формируются монослойные и субмонослойные атомарные слои нанопленки. В данной работе алюминий-молибденовые оксидные пленки получали методом термического АСО. В отличие от ПС-АСО в предложенном нами процессе роста пленки осуществляется за счет термически стимулированных поверхностных реакций без использования дорогостоящего источника плазмы. Использование в ПС-АСО оксидов  $\text{O}_2$  плазмы может привести к неконтролируемому окислению подложки и модификации границы раздела пленка/подложка из-за потока высокореакционных радикалов кислорода [14].

Предлагаемый способ роста  $\text{Al}_x\text{Mo}_y\text{O}_z$  можно представить как объединение двух процессов АСО

$\text{Al}_2\text{O}_3$  и  $\text{MoO}_3$  в одном. Ранее для АСО  $\text{Al}_2\text{O}_3$  в качестве прекурсора алюминия в основном применяли хлорид алюминия  $\text{AlCl}_3$ , бромид алюминия  $\text{AlBr}_3$ , хлорид диметилалюминия  $\text{Al}(\text{CH}_3)_2\text{Cl}$ , триметилалюминий  $\text{Al}(\text{CH}_3)_3$ , триэтилалюминий  $\text{Al}(\text{C}_2\text{H}_5)_3$ , триэтоксид алюминия  $\text{Al}(\text{OC}_2\text{H}_5)_3$ , триизопропилоксид алюминия  $\text{Al}(\text{O}i\text{Pr})_3$  в комбинации с  $\text{O}_2$ ,  $\text{H}_2\text{O}$  или  $\text{O}_3$  [15]. Наиболее привлекательным и часто используемым прекурсором алюминия является триметилалюминий ввиду его высокой летучести, термической стабильности и высокой реакционной способности. В качестве прекурсоров молибдена в АСО ранее были использованы гексакарбонил молибдена  $\text{Mo}(\text{CO})_6$  [16]; бис-этилбензол молибдена  $\text{MoC}_{16}\text{H}_{20}$  [17]; диоксобис-( $\text{N},\text{N}'$ -дизопропилацетоамидинат) молибдена  $\text{MoO}_2(i\text{Pr}_2\text{amid})_2$  [18]; бис-(трет-бутилимидо)-бис-(диметиламино)молибден  $\text{Mo}(\text{NtBu})_2(\text{NMe}_2)_2$  [19]; диоксобис-(2,2,6,6-тетраметилгептан-3,5-дионато)молибден  $\text{MoO}_2(\text{thd})_2$  [20]; диоксобис-( $\text{N},\text{N}'$ -третбутилацетоамидинато)молибден  $\text{MoO}_2(t\text{Buamid})_2$  [21] и оксотетрахлорид молибдена(VI)  $\text{MoOCl}_4$  [22] в комбинации с  $\text{H}_2\text{O}$ ,  $\text{O}_3$  и  $\text{H}_2\text{O} + \text{O}_3$ .

В данной работе в качестве прекурсоров алюминия использовали  $\text{Al}(\text{CH}_3)_3$ , молибдена –  $\text{MoOCl}_4$ , кислорода –  $\text{H}_2\text{O}$ . Целью работы является подтверждение применимости данных прекурсоров на основании исследования механизма поверхностных реакций и состава получаемых нанопленок. Комбинация данных прекурсоров для осаждения пленок  $\text{Al}_x\text{Mo}_y\text{O}_z$  используется впервые. Оксотетрахлорид молибдена привлекателен тем, что относительно легко переходит в газовую фазу сублимацией. Возможность получения АСО-пленок  $\text{MoO}_3$  с использованием  $\text{MoOCl}_4$  в комбинации с  $\text{H}_2\text{O}$  была ранее изучена в работах [22, 23].

## ЭКСПЕРИМЕНТАЛЬНАЯ ЧАСТЬ

АСО оксидных пленок проводили на оборудовании компании ООО АСО НаноТех (г. Махачкала, Россия). Экспериментальная установка оборудована вакуумной камерой с горячими стенками, которая продувалась потоком инертного газа. АСО всех пленок проводили при 150°C. В качестве инертного газа использовали азот (ОСЧ, ООО “Гермес-газ”, 99.999%). Давление в реакторе поддерживалось около отметки 1.0 Торр. Чистота  $\text{Al}(\text{CH}_3)_3$  (CAS номер 75241, Sigma-Aldrich) и  $\text{MoOCl}_4$  (CAS номер 13814750, Sigma-Aldrich) составляла ~97.0%.  $\text{MoOCl}_4$  загружали в контейнер для подачи реагента в перчаточном боксе в атмосфере аргона. Вода перед использованием подвергалась деионизации и дегазации. Во время АСО  $\text{MoOCl}_4$  грели до 60°C для достижения достаточного давления паров. Температура плавления  $\text{MoOCl}_4$  составляет 105°C [24]. Из литератур-

ных источников известно, что  $\text{MoOCl}_4$  термически нестабилен и при комнатной температуре медленно разлагается [25]. Несмотря на это, визуально изменения цвета прекурсора после нагревания в контейнере до 60°C не наблюдалось.

Мониторинг процесса роста пленок проводили в режиме реального времени (*in situ*) с использованием кварцевых пьезоэлектрических микровесов (КПМ) [26]. Разрешение КПМ по массе составляет ~0.3 нг/см<sup>2</sup>. Погрешности КПМ для каждой из точек в кривых насыщения прекурсоров рассчитывали по стандартным отклонениям не менее 10 измерений.

Для осаждения пленок в качестве подложек использовали кремниевые пластины Si(100) размером 1.5 × 1.5 см со слоем естественного оксида кремния толщиной ~20 Å. Перед использованием подложки последовательно очищали ацетоном, изопропанолом, деионизированной водой и высушивали в потоке  $\text{N}_2$  “ос. ч.”. До начала осаждения подложки выдерживали в реакционной камере в течение ~30 мин. До начала АСО  $\text{Al}_x\text{Mo}_y\text{O}_z$  поверхность кварцевого кристалла или кремниевой подложки Si(100) покрывали в том же реакторе пленкой АСО- $\text{Al}_2\text{O}_3$  толщиной примерно 60 Å, для этого использовали триметилалюминий (ТМА) и  $\text{H}_2\text{O}$ .

Данные рентгеновской рефлектометрии и рентгendifракционного анализа получены с помощью исследовательского комплекса Bruker D8 Discover (Bruker, Германия). Для моделирования слоев в составе пленок для рентгеновской рефлектометрии использован пакет программ Bruker Diffrac.Suite. Методом рентгеновской рефлектометрии была получена информация о толщине, плотности и поверхностной среднеквадратичной шероховатости (RMS) полученных пленок, а методом рентгendifракционного анализа – информация об их кристаллической структуре.

С помощью рентгеновской фотоэлектронной спектроскопии (РФЭС) исследован атомный состав и определена энергия связей элементов в пленке. РФЭС-данные получены с использованием комплексного спектрометра Escalab 250Xi (Thermo Fisher Scientific, Великобритания), снабженного монохроматическим  $\text{Al}K_{\alpha}$ -рентгеновским источником (1486.6 эВ), с энергией пропускания 100.0 эВ для обзорных спектров и 50.0 эВ для спектров высокого разрешения. Размер шага сканирования составлял 0.5 эВ для обзорных спектров и 0.1 эВ для спектров высокого разрешения. Все спектры были откалиброваны по пику C 1s с центром при 284.8 эВ. Разложение спектральных фотоэлектронных линий провели функцией Гаусса, фоновую составляющую вычитали методом Ширли. Удаление приповерхностного слоя ионами  $\text{Ar}^+$  до снятия спектров не проводили из-за возможной модификации химического состава пленок.

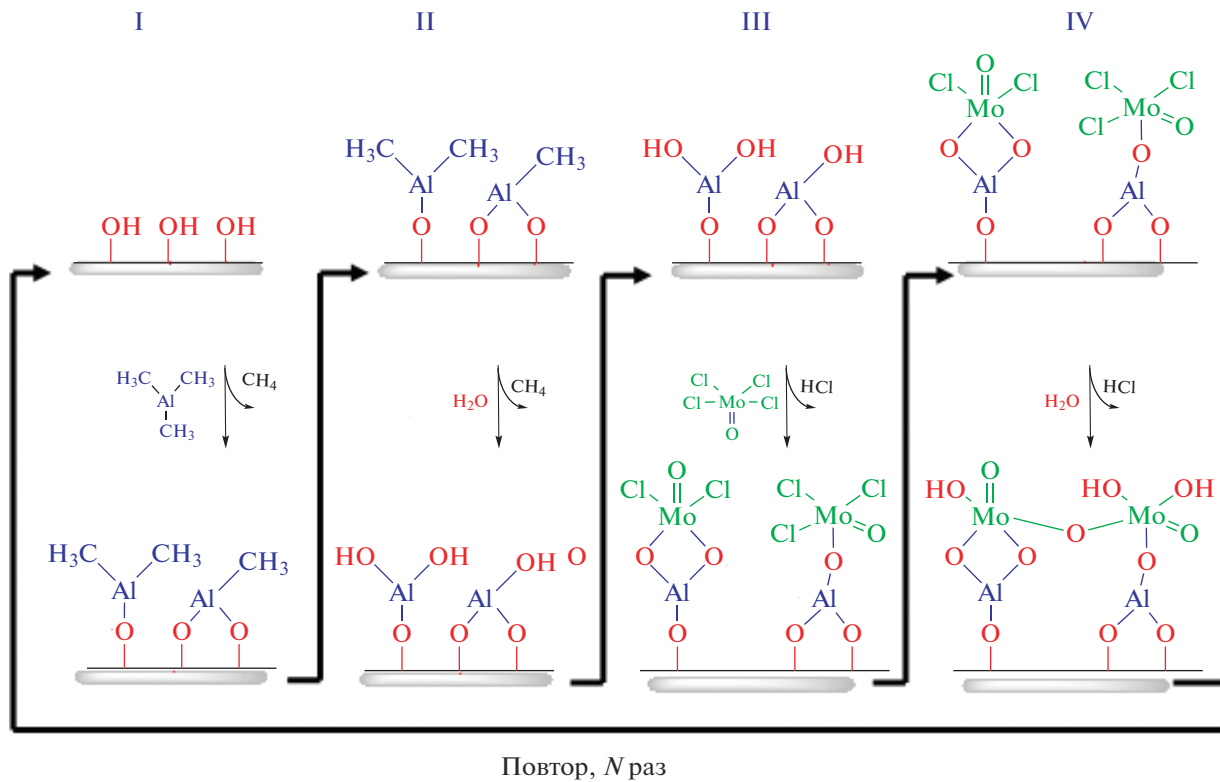


Рис. 1. Последовательность подачи реагентов в суперцикле процесса  $\text{ACO Al}_x\text{Mo}_y\text{O}_z$  ( $1\text{Al}1\text{MoO}$ ).

Время напуска и продувки прекурсоров во время одного АСО-суперцикла  $\text{Al}_x\text{Mo}_y\text{O}_z$  обозначали как  $\tau_1/\tau_2/\tau_3/\tau_4/\tau_5/\tau_6/\tau_7/\tau_8$ , где  $\tau_1$  – время напуска паров TMA;  $\tau_2, \tau_4, \tau_6, \tau_8$  – время продувки (30 с);  $\tau_3, \tau_7$  – время напуска паров  $\text{H}_2\text{O}$ ;  $\tau_5$  – время напуска паров  $\text{MoOCl}_4$ . Соотношение субциклов  $\text{TMA-H}_2\text{O}$  и  $\text{MoOCl}_4-\text{H}_2\text{O}$  в процессе  $\text{ACO Al}_x\text{Mo}_y\text{O}_z$  варьировали, меняя количество субциклов  $\tau_5/\tau_6/\tau_7/\tau_8$  в суперцикле. Парциальные давления  $\text{MoOCl}_4$ , TMA и  $\text{H}_2\text{O}$  при времени напуска в течение 1.0 с составляли ~5, ~20 и ~70 мТорр соответственно.

Все термохимические расчеты проводили с использованием программы HSC Chemistry (Версия 9.0).

## РЕЗУЛЬТАТЫ И ОБСУЖДЕНИЕ

$\text{ACO Al}_x\text{Mo}_y\text{O}_z$  осуществляли за счет поверхностных реакций паров  $\text{Al}(\text{CH}_3)_3$ ,  $\text{MoOCl}_4$  и  $\text{H}_2\text{O}$  в заданной последовательности. Полученные пленки обозначили как  $1\text{Al}1\text{MoO}$  и  $1\text{Al}7\text{MoO}$ , где коэффициенты соответствуют количеству субциклов  $\text{Al}(\text{CH}_3)_3/\text{H}_2\text{O}$  и  $\text{MoOCl}_4/\text{H}_2\text{O}$  в суперцикле. Для осаждения  $1\text{Al}1\text{MoO}$  использовали восемиступенчатый АСО-суперцикл, состоящий из последовательного напуска паров  $\text{Al}(\text{CH}_3)_3$ ,  $\text{H}_2\text{O}$ ,  $\text{MoOCl}_4$ ,  $\text{H}_2\text{O}$  и продувок между ними, как показано на рис. 1.

**КПМ.** На рис. 2 показаны КПМ-данные по изменению массы при напуске и продувке реагентов в процессе осаждения пленок  $1\text{Al}1\text{MoO}$  при 150°C. Для данного процесса использовали параметры цикла 1/30/1/30/1/30/1/30, где  $\text{Al}(\text{CH}_3)_3$ ,  $\text{MoOCl}_4$  и  $\text{H}_2\text{O}$  напускали в течение 1.0 с, а время продувки было 30 с. Прирост массы после  $\text{Al}(\text{CH}_3)_3/\text{H}_2\text{O}$ -субцикла составил 59.0 нг/см<sup>2</sup>, что почти вдвое выше прироста массы, наблюдаемого в процессе роста  $\text{Al}_2\text{O}_3$  (~32.0 нг/см<sup>2</sup>) с использованием TMA и  $\text{H}_2\text{O}$  при схожих условиях [27, 28].

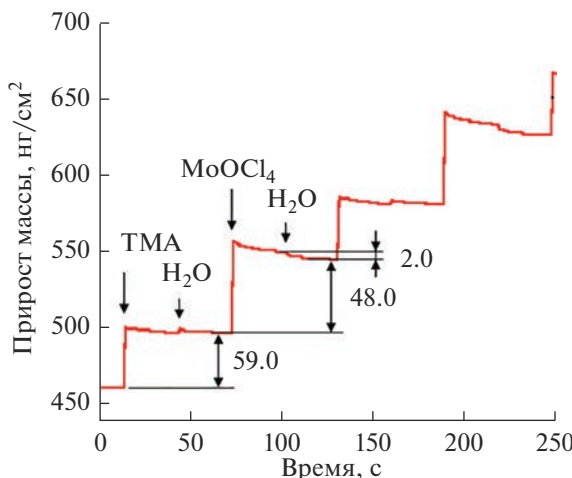
Прирост массы оксида алюминия более чем в два раза превышает теоретический прирост массы для одного монослоя  $\text{Al}_2\text{O}_3$ , равный 26.4 нг/см<sup>2</sup> и рассчитанный из уравнения

$$\Delta m(\text{AlO}_{3/2}) = M / (\sigma N_A), \quad (1)$$

где  $M$  – молярная масса  $\text{AlO}_{3/2}$  (г/моль),  $\sigma$  – эффективная посадочная площадка для молекул TMA (нм<sup>2</sup>),  $N_A$  – число Авогадро (ат./моль). Эффективную посадочную площадку рассчитывали по формуле Брунауэра–Эмметта–Теллера

$$\sigma = 1.09 (M / (\rho N_A))^{2/3}, \quad (2)$$

где  $M$  – молярная масса ТМА (г/моль),  $\rho$  – плотность жидкого ТМА (г/см<sup>3</sup>). Из уравнения (2) посадочная площадка ТМА равна 0.320 нм<sup>2</sup>.



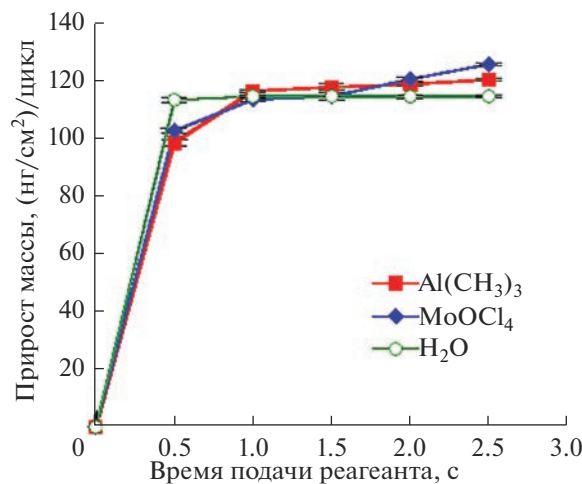
**Рис. 2.** Наблюдаемый при КПМ прирост массы при напуске реагентов в процессе ACO  $\text{Al}_x\text{Mo}_y\text{O}_z$  (1Al7MoO) для двух суперциклов.

Экспериментально наблюдаемое значение прироста массы для  $\text{Al}_2\text{O}_3$  отличается от теоретического в пределах 20%, что объяснимо ошибкой формулы Брунауэра–Эмметта–Теллера, не учитывающей конкретное количество и конфигурацию лигандов. Следовательно, в случае ACO  $\text{Al}_2\text{O}_3$  присоединяется один монослой, а для ACO  $\text{Al}_x\text{Mo}_y\text{O}_z$  – два монослоя.

Прирост массы после  $\text{MoOCl}_4/\text{H}_2\text{O}$ -субцикла составил 48.0 нг/см<sup>2</sup>, что на ~41.0 нг/см<sup>2</sup> выше значения прироста массы, наблюдавшегося в процессе ACO  $\text{MoO}_3$  (7.0 нг/см<sup>2</sup>) с использованием  $\text{MoOCl}_4$  и  $\text{H}_2\text{O}$  [29]. Однако данное значение (48 нг/см<sup>2</sup>) существенно меньше массы теоретического монослоя, рассчитанного из формулы (1):  $\Delta m(\text{MoO}_3) = 78.1 \text{ нг/см}^2$  ( $\text{MoOCl}_4, \sigma = 0.320 \text{ нм}^2$ ), что говорит о субмонослоистом режиме роста. Увеличение прироста массы за  $\text{MoOCl}_4/\text{H}_2\text{O}$ -субцикл может быть обусловлено увеличением количества реакционных поверхностных групп вследствие включения алюминий-оксидных слоев.

Согласно приведенной выше схеме (рис. 1), реакция алюминийметилированной поверхности с  $\text{H}_2\text{O}$  (реакция II) должна привести к замещению  $-\text{CH}_3$ -групп на  $-\text{OH}$  и, соответственно, к прибавке массы [26, 28], а в случае реакции поверхностных молибденоксихлоридных групп с  $\text{H}_2\text{O}$  (реакция IV) – к ее снижению. Из рис. 2 видно, что напуск TMA или  $\text{MoOCl}_4$  приводит к приросту массы, а после напуска паров воды для случая  $\text{Al}(\text{CH}_3)_3/\text{H}_2\text{O}$  не наблюдается ожидаемой прибавки массы, тогда как в случае  $\text{MoOCl}_4/\text{H}_2\text{O}$  происходит ее снижение примерно на 2 нг/см<sup>2</sup>.

Зависимость прироста массы, приходящегося на один суперцикл, от продолжительности напус-

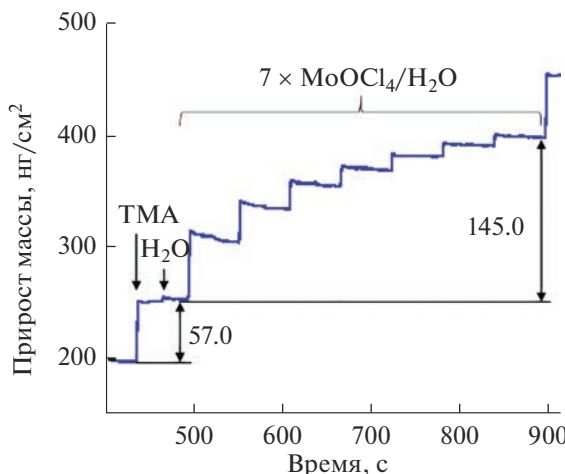


**Рис. 3.** Зависимости прироста массы за ACO-суперцикль  $\text{Al}_x\text{Mo}_y\text{O}_z$  от времени напуска паров TMA,  $\text{MoOCl}_4$  и  $\text{H}_2\text{O}$  при 150°C.

ка реагентов приведена на рис. 3. Данные эксперименты проведены для определения самонасыщающейся поверхностных реакций прекурсоров, что является необходимым условием ACO. Кривые насыщения для  $\text{Al}(\text{CH}_3)_3$  или  $\text{MoOCl}_4$  получали, фиксируя время напуска  $\text{H}_2\text{O}$  (2.0 с) и одного из прекурсоров металла (1.5 с). Прирост массы за цикл достигал насыщения уже при времени напуска паров  $\text{Al}(\text{CH}_3)_3$  и  $\text{MoOCl}_4$  в течение примерно 1.0 с. Кривая насыщения для TMA имеет самоограничивающийся характер, тогда как кривая насыщения  $\text{MoOCl}_4$  – менее идеальна. На рис. 3 также представлены результаты для поверхностной реакции  $\text{H}_2\text{O}$ , полученные фиксированием времени напуска паров  $\text{MoOCl}_4$  и  $\text{Al}(\text{CH}_3)_3$  в течение 1.5 с. Прирост массы за цикл достигал насыщения при времени напуска  $\text{H}_2\text{O}$  в течение 1.0 с. Следовательно, поверхностная реакция  $\text{H}_2\text{O}$  при рассмотренной температуре имеет самоограничивающийся характер. Время продувки прекурсоров во всех случаях составило 30 с.

Для увеличения относительного содержания молибдена в получаемых пленках ACO проводили с использованием одного субцикла  $\text{Al}(\text{CH}_3)_3/\text{H}_2\text{O}$  и семи субциклов  $\text{MoOCl}_4/\text{H}_2\text{O}$  в суперцикле (пленки 1Al7MoO). На рис. 4 приведены данные КПМ для одного ACO-суперцикла 1Al7MoO, проводимого с временными параметрами напуска и продувки  $1/30/1/30/((1/30/3/30) \times 7)$ .

Прирост массы после субцикла  $\text{Al}(\text{CH}_3)_3/\text{H}_2\text{O}$  составил 57.0 нг/см<sup>2</sup>, а после семи  $\text{MoOCl}_4/\text{H}_2\text{O}$ -субциклов – 145.0 нг/см<sup>2</sup>, что соответствует массе примерно двух мономолекулярных слоев для обоих субциклов. Прирост массы после субцикла  $\text{Al}(\text{CH}_3)_3/\text{H}_2\text{O}$  для 1Al7MoO на 2.0 нг/см<sup>2</sup> ниже,



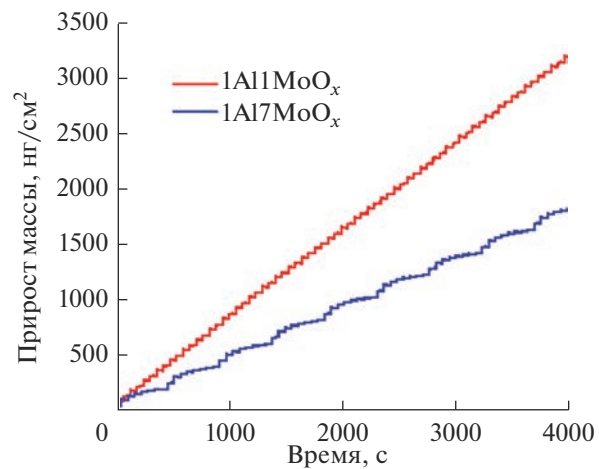
**Рис. 4.** КПМ-данные прироста массы для одного суперцикла в процессе ACO  $\text{Al}_x\text{Mo}_y\text{O}_z$  (1Al7MoO) при  $150^\circ\text{C}$ .

чем в процессе ACO 1Al1MoO ( $59.0 \text{ нг/см}^2$ ). Как видно из рис. 4, включение одного субцикла TMA/H<sub>2</sub>O после 7 субциклов MoOCl<sub>4</sub>/H<sub>2</sub>O позволяет значительно регенерировать реакционность поверхности и стимулировать рост слоя MoO<sub>x</sub>, который в противном случае имеет затухающий характер, как и на первых циклах в процессе ACO MoO<sub>3</sub> на подложке Al<sub>2</sub>O<sub>3</sub>.

КПМ-данные зависимости прироста массы от времени (количество циклов) в процессе роста 1Al1MoO и 1Al7MoO при  $150^\circ\text{C}$  представлены на рис. 5. Видны линейность роста пленок с количеством АСО-циклов, а также высокая повторяемость процесса от цикла к циклу. Угол наклона линии прироста массы для 1Al1MoO выше и, соответственно, скорость роста пленки в данном случае выше, чем для 1Al7MoO.

**Рентгеновская рефлектометрия и рентгendifракционный анализ пленок.** На кремниевые подложки  $\text{Al}_x\text{Mo}_y\text{O}_z$ -пленки осаждали при температуре  $150^\circ\text{C}$ , где продолжительность напуска  $\text{Al}(\text{CH}_3)_3$ , MoOCl<sub>4</sub> и H<sub>2</sub>O составляла 1.0 с, а продувки – 30 с. Все пленки осаждали на затравочном слое ACO-Al<sub>2</sub>O<sub>3</sub>, полученным при той же температуре после 50 циклов TMA и H<sub>2</sub>O. Затравочный слой использовали для улучшения нуклеации пленок.

Методом рентгеновской рефлектометрии определили постоянную роста пленок, которая составила 3.0 и  $5.7 \text{ \AA/суперцикл}$  для 1Al1MoO и 1Al7MoO соответственно. Средняя плотность пленок 1Al1MoO составила  $3.6 \text{ г/см}^3$ , а 1Al7MoO –  $3.9 \text{ г/см}^3$ . Увеличение плотности пленок с повышением количества MoOCl<sub>4</sub>/H<sub>2</sub>O-субциклов объясняется повышением концентрации молибдена. Для сравнения плотность аморфной АСО-пленки MoO<sub>3</sub>, полученной при той же температуре с ис-



**Рис. 5.** Прирост массы в процессе роста  $\text{Al}_x\text{Mo}_y\text{O}_z$ -пленок с разным соотношением субциклов при устоявшемся режиме (после нуклеации).

пользованием MoOCl<sub>4</sub> и H<sub>2</sub>O, составляет  $3.9 \text{ г/см}^3$  [23], а АСО-пленки Al<sub>2</sub>O<sub>3</sub> – примерно  $3.0 \text{ г/см}^3$  [30]. Исходя из этих значений вычислили расчетную плотность синтезированных пленок по правилу смесей:

$$\rho_{\text{см}} = 1/(w_1/\rho_1 + w_2/\rho_2), \quad (3)$$

где  $w_1$  и  $w_2$  – массовые доли атомов Al и Mo в пленках соответственно, полученных методом РФЭС;  $\rho_1$  и  $\rho_2$  – плотности АСО-оксидов алюминия и молибдена соответственно. Отсюда получили значения  $3.36$  и  $3.51 \text{ г/см}^3$  для 1Al1MoO и 1Al7MoO соответственно, что близко к экспериментальным данным, полученным рентгеновской рефлектометрией. Используя значения плотностей пленок, полученные рентгеновской рефлектометрией, и прироста массы за суперцикл из КПМ, рассчитали ожидаемые величины постоянных роста, равные  $2.97$  и  $5.2 \text{ \AA/суперцикл}$  для 1Al1MoO и 1Al7MoO соответственно. Методом рентгеновской рефлектометрии получили также среднеквадратичную шероховатость пленок. Так, пленка 1Al1MoO толщиной  $413.0 \text{ \AA}$  имела шероховатость  $16.73 \text{ \AA}$ , а пленка 1Al7MoO толщиной  $294.5 \text{ \AA}$  –  $20.4 \text{ \AA}$ . Рентгendifракционный анализ полученных пленок показал, что все они имели аморфную структуру.

**РФЭС-анализ.** Элементный состав полученных пленок определяли из обзорных РФЭС. Анализ пленки 1Al1MoO показал следующий состав (ат. %): Al – 26.00, Mo – 8.15, O – 65.85, C – 31.57, а пленки 1Al7MoO: Al – 19.76, Mo – 11.66, O – 68.58, C – 25.74. Содержание атомов хлора в пленках было ниже чувствительности прибора (<0.5 ат. %). Присутствие примесей углерода скорее всего обусловлено загрязнением поверхности образцов при контакте с воздухом в промежутке

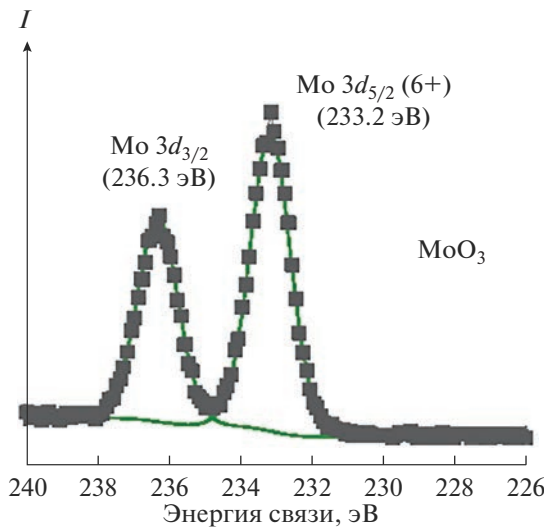


Рис. 6. РФЭС линии Mo 3d высокого разрешения с моделями для АСО-пленки MoO<sub>3</sub>, полученной при 150°C с использованием MoOCl<sub>4</sub> и H<sub>2</sub>O.

между осаждением и РФЭС-анализом. Увеличение количества субциклов MoOCl<sub>4</sub>/H<sub>2</sub>O от одного (1Al1MoO) до семи (1Al7MoO) привело к увеличению концентрации молибдена примерно в 1.4 раза.

Для обоих типов АСО-пленок содержание алюминия превышает содержание молибдена, следовательно, реальный механизм роста пленок Al<sub>x</sub>Mo<sub>y</sub>O<sub>z</sub> отличается от предложенной программы синтеза, представленной на рис. 1. Используя основанное на правилах смесей уравнение, предложенное в работе [31]

$$\chi_{\text{КПМ}} = n_{\text{Mo}} / (n_{\text{Al}} + n_{\text{Mo}}) = 1 / (1 + 2(M_{\text{MoO}_3} / M_{\text{Al}_2\text{O}_3}) (\Delta m_{\text{sub}, \text{Al-O}} / \Delta m_{\text{sub}, \text{Mo-O}})), \quad (4)$$

где  $\Delta m_{\text{sub}}$  (нг/см<sup>2</sup>) — прирост массы за субцикл (в случае 1Al7MoO средний прирост за 7 субциклов Mo-O),  $M$  — молярная масса, получили относительную концентрацию Mo ( $\chi_{\text{КПМ}}$ ) для 1Al1MoO, равную 0.224, для 1Al7MoO — 0.474, что схоже с РФЭС-данными для 1Al1MoO (0.239) и отличается для 1Al7MoO (0.371). Близость значений для 1Al1MoO, возможно, говорит о минимально выраженных процессах “конверсии”, часто наблюдаемых для АСО-смесей [32] или атомно-слоевого травления [33, 34], проводимых с использованием ТМА. Отклонение от правила смесей наблюдали и в других схожих АСО-процессах [27, 32, 35, 36]. Среди причин такого поведения систем называют эффект “конверсии” [33, 34], который в общем виде ранее представляли как  $\text{MO}_w + NL_x(\text{г.}) \rightarrow \text{NO}_y + ML_z(\text{г.})$ , где M — металл исходного оксида (Mo), а N и L — металл (Al) и лиганд ( $-\text{CH}_3$ ) напускаемого прекурсора соответственно [33]. Среди легколетучих метилпроизводных молибдена известны термически устойчивый гексаметилмолибден Mo(CH<sub>3</sub>)<sub>6</sub> и

менее устойчивый пентаметилмолибден Mo(CH<sub>3</sub>)<sub>5</sub> [37]. Можно предположить, что конверсия MoO<sub>3</sub> в данном процессе может протекать по реакции  $\text{MoO}_3 + 2\text{Al}(\text{CH}_3)_3(\text{г.}) \rightarrow \text{Al}_2\text{O}_3 + \text{Mo}(\text{CH}_3)_6(\text{г.})$ . Вышеизложенное указывает на то, что наряду с ростом пленки могут также протекать процессы ее травления. Расчетным путем оценили эту возможность количественно. Если предположить, что на TMA/H<sub>2</sub>O-субцикле наряду с присоединением оксида алюминия происходит стравливание оксида молибдена в количестве  $\Delta m_{\text{etch}, \text{Mo-O}}$  (нг/см<sup>2</sup>), то уравнение (4) примет вид

$$\begin{aligned} \chi_{\text{КПМ}} &= n_{\text{Mo}} / (n_{\text{Al}} + n_{\text{Mo}}) = 1 / (1 + \\ &+ (2M_{\text{MoO}_3} / M_{\text{Al}_2\text{O}_3}) (\Delta m_{\text{sub}, \text{Al-O}} + \\ &+ \Delta m_{\text{etch}, \text{Mo-O}}) / (\Delta m_{\text{sub}, \text{Mo-O}} - \Delta m_{\text{etch}, \text{Mo-O}})), \end{aligned} \quad (5)$$

откуда

$$\begin{aligned} \Delta m_{\text{etch}, \text{Mo-O}} &= (\Delta m_{\text{sub}, \text{Mo-O}} (1 / \chi_{\text{КПМ}} - 1) \times \\ &\times M_{\text{Al}_2\text{O}_3} / (2M_{\text{MoO}_3} - \Delta m_{\text{sub}, \text{Al-O}})) / ((1 / \chi_{\text{КПМ}} - 1) \times (6) \\ &\times M_{\text{Al}_2\text{O}_3} / (2M_{\text{MoO}_3} + 1)). \end{aligned}$$

Для 1Al7MoO  $\Delta m_{\text{etch}, \text{Mo-O}} = 18.8$  нг/см<sup>2</sup>, что составляет 13% от общего количества присоединенного молибдена. Согласно уравнению реакции травления, стравливание оксида молибдена должно привести к образованию такого же количества оксида алюминия, масса которого составит 13.3 нг/см<sup>2</sup>. Общая масса синтезированного за суперцикл оксида алюминия будет равна  $\Delta m_{\text{Al}} = B\Delta m_{\text{sub}, \text{Al-O}} + \Delta m_{\text{etch}, \text{Mo-O}} = 75.8$  нг/см<sup>2</sup>, из которых 13.3 нг/см<sup>2</sup> — за счет травления оксида молибдена, а остальное (62.5 нг/см<sup>2</sup>) — за счет традиционного АСО. Как видим, это значение только увеличилось по сравнению с приростом без травления и оно по-прежнему около двух монослоев. Таким образом, процесс конверсии (травления), хотя и позволяет понять отклонение  $\chi_{\text{КПМ}}$  от  $\chi_{\text{РФЭС}}$ , но не объясняет сверхмонослоистый рост на субцикле оксида алюминия.

Для детального определения химического состояния молибдена в полученных пленках провели РФЭС-сканирование высокого разрешения в области спектральных линий 3d-уровня Mo. Для сравнения на рис. 6 приведен РФЭС для АСО-пленки MoO<sub>3</sub> (на затравочном Al<sub>2</sub>O<sub>3</sub>), полученной при той же температуре с использованием MoOCl<sub>4</sub> и H<sub>2</sub>O. В спектре остовых уровней Mo 3d преобладает спин-орбитальный дублет Mo 3d<sub>3/2</sub>—Mo 3d<sub>5/2</sub>. Позиция пика Mo 3d<sub>5/2</sub> с энергией связи 233.2 эВ находится в пределах литературных значений для MoO<sub>3</sub>, где Mo имеет степень окисления 6+ [38], что соответствует степени окисления молибдена в прекурсоре (MoOCl<sub>4</sub>).

Спектральные данные и модели линий остового уровня Mo 3d для 1Al1MoO и 1Al7MoO представлены на рис. 7а и 7б соответственно. Спектры

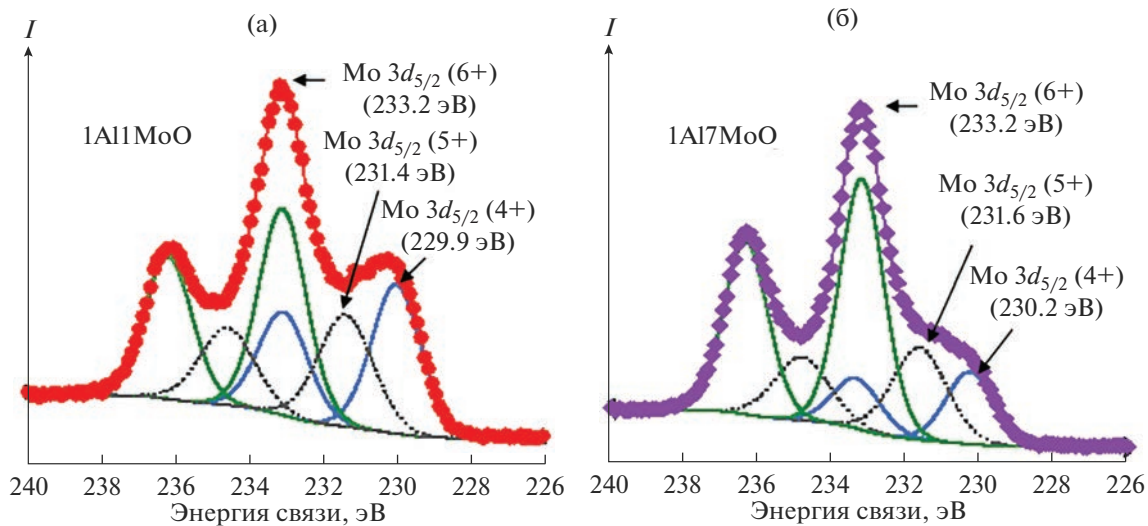


Рис. 7. РПЭС линии Mo 3d высокого разрешения с моделями для пленок 1Al1MoO (а) и 1Al7MoO (б), полученных при 150°C.

данных пленок более сложные и состоят из суперпозиции пиков, характерных для оксида молибдена в различных степенях окисления. Для пленки 1Al1MoO (рис. 7а) два новых пика Mo 3d<sub>5/2</sub> с энергиями связи 231.4 и 229.9 эВ отнесли к молибдену со степенями окисления 5+ [39, 40] и 4+ [40] соответственно. Расчет площади фотоэлектронных линий новых Mo3d-пиков показал, что относительная концентрация ионов Mo в степени окисления 4+ превышает значение для 5+.

Для пленки 1Al7MoO (рис. 7б) два новых пика Mo 3d<sub>5/2</sub> с энергиями связи 231.6 и 230.2 эВ также отнесли к молибдену со степенями окисления 5+ и 4+ соответственно [41]. В данном случае относительная концентрация Mo<sup>5+</sup> выше концентрации Mo<sup>4+</sup>. Из рис. 7а и 7б видно, что с увеличением количества субциклов MoOCl<sub>4</sub>/H<sub>2</sub>O в суперцикле относительная концентрация Mo<sup>6+</sup> увеличивается в сравнении с Mo<sup>4+</sup> и Mo<sup>5+</sup>. Относительная концентрация Mo<sup>6+</sup> для обоих типов пленок может быть завышена из-за возможного окисления на воздухе [40] верхних слоев пленок.

РПЭС-сканы высокого разрешения, полученные в области энергий связи атомов алюминия (65–84 эВ, Al 2p) для 1Al1MoO и 1Al7MoO, показали синглетные пики с энергиями связи 74.6 и 74.75 эВ соответственно, что согласуется с данными [42] для Al<sub>2</sub>O<sub>3</sub> и соответствует Al<sup>3+</sup> в ТМА.

Частичное восстановление Mo<sup>6+</sup> до Mo<sup>4+</sup> и Mo<sup>5+</sup> в процессе роста Al<sub>x</sub>Mo<sub>y</sub>O<sub>z</sub>-пленок связано с восстановительной способностью ТМА. Восстановление катионов оксидов металлов в реакциях с ТМА наблюдали и в ряде других работ [27, 34, 43, 44]. Так, восстановление Si<sup>4+</sup> в составе SiO<sub>2</sub> при реакции с газофазным ТМА в работе [34] связывали с

тем, что метильные группы ТМА имеют меньшее значение электроотрицательности по сравнению с атомами кислорода, связанными с Si. Таким образом, ТМА помимо образования связей Mo—O—Al может способствовать восстановлению Mo<sup>6+</sup>. Термодинамические расчеты процессов восстановления MoO<sub>3</sub> до MoO<sub>2</sub> с участием CH<sub>4</sub>, являющегося побочным продуктом поверхностных реакций ТМА и H<sub>2</sub>O (реакции I и II) (рис. 1), дали следующий результат: 4MoO<sub>3</sub> + CH<sub>4</sub>(г.) → 4MoO<sub>2</sub> + CO<sub>2</sub>(г.) + 2H<sub>2</sub>O(г.), где  $\Delta G(150^\circ\text{C}) = -71.7$  ккал, и/или 3MoO<sub>3</sub> + CH<sub>4</sub>(г.) → 3MoO<sub>2</sub> + CO(г.) + 2H<sub>2</sub>O(г.), где  $\Delta G(150^\circ\text{C}) = -42.7$  ккал. Данные расчеты показывают, что эти процессы возможны, однако из литературных данных известно, что процессы восстановления MoO<sub>3</sub> метаном начинают протекать с выраженной интенсивностью только при достижении температуры реакционной среды ~700°C [42]. Другим путем восстановления MoO<sub>3</sub>, связанного с присутствием триметилалюминия в системе, может быть реакция 3MoO<sub>3</sub> + 2Al(CH<sub>3</sub>)<sub>3</sub>(г.) → 3MoO<sub>2</sub> + Al<sub>2</sub>O<sub>3</sub> + 3C<sub>2</sub>H<sub>6</sub>(г.), где  $\Delta G(150^\circ\text{C}) = -301.1$  ккал, что указывает на более выраженные восстановительные свойства ТМА по сравнению с CH<sub>4</sub>. Интересно, что данный процесс более термодинамически выгоден в сравнении с реакцией ТМА с H<sub>2</sub>O: 3H<sub>2</sub>O(г.) + 2Al(CH<sub>3</sub>)<sub>3</sub>(г.) → Al<sub>2</sub>O<sub>3</sub> + 6CH<sub>4</sub>(г.), где  $\Delta G(150^\circ\text{C}) = -282.7$  ккал.

Возможный механизм восстановления поверхностных молибденоксидных групп схематически представлен на рис. 8. Предположительно, восстановление Mo<sup>6+</sup> до Mo<sup>4+</sup> в результате реакции с ТМА осуществляется за счет параллельно происходящих процессов: образования ковалентной связи по донорно-акцепторному механизму

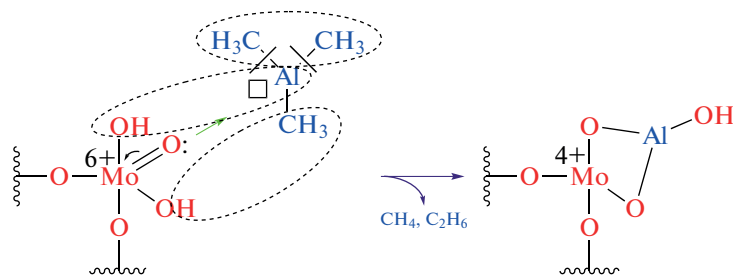


Рис. 8. Предлагаемый механизм восстановления  $\text{Mo}^{6+}$  до  $\text{Mo}^{4+}$  в пленках  $\text{Al}_x\text{Mo}_y\text{O}_z$ .

между терминальным кислородом  $\text{Mo}=\text{O}$ : и атомом алюминия в ТМА, отщепления поверхностной  $\text{OH}$ -группы от молибдена и ее присоединения к  $\text{Al}$ , отщепления  $\text{CH}_3$ -лигандов ТМА и их рекомбинации в молекулы  $\text{C}_2\text{H}_6$ . Механизм дополняется реакцией замещения между ТМА и поверхностными  $\text{OH}$ -группами с выделением  $\text{CH}_4$ .

По предложенному выше механизму во время стадии напуска ТМА может появиться  $\text{OH}$ -группа, которая открывает возможность обеспечения хемосорбции дополнительной молекулы ТМА, за счет чего почти вдвое может увеличиться прибавка массы, что и наблюдалось на КПМ (рис. 2 и 4). Оценить эту возможность количественно можно с использованием уравнения (4). Если предположить, что на ТМА/ $\text{H}_2\text{O}$ -субцикле наряду с присоединением оксида алюминия происходит восстановление оксида молибдена, в результате которого он теряет атомы кислорода в количестве  $\Delta m_{\text{red},\text{O}}$  ( $\text{нг}/\text{см}^2$ ), то уравнение (4) примет вид:

$$\chi_{\text{КПМ}} = n_{\text{Mo}} / (n_{\text{Al}} + n_{\text{Mo}}) = 1 / (1 + (2M_{\text{MoO}_3} / M_{\text{Al}_2\text{O}_3}) (\Delta m_{\text{sub,Al-O}} + \Delta m_{\text{red,O}}) / (\Delta m_{\text{sub,Mo-O}})), \quad (7)$$

откуда:

$$\Delta m_{\text{red,O}} = \Delta m_{\text{sub,Mo-O}} (1 / \chi_{\text{КПМ}} - 1) \times (M_{\text{Al}_2\text{O}_3} / (2M_{\text{MoO}_3}) - \Delta m_{\text{sub,Al-O}}). \quad (8)$$

Для 1Al7MoO  $\Delta m_{\text{red,O}} = 30.1 \text{ нг}/\text{см}^2$  или  $1.88 \text{ нмоль}/\text{см}^2$ . Согласно уравнению реакции восстановления, на каждые 3 моля триоксида молибдена, восстановленного до диоксида, образуется 1 моль оксида алюминия. Таким образом, по реакции восстановления должно образоваться  $0.63 \text{ нмоль}/\text{см}^2$  ( $63.9 \text{ нг}/\text{см}^2$ ) оксида алюминия. Общая же масса синтезированного за суперцикл оксида алюминия будет равна  $\Delta m_{\text{Al}} = B\Delta m_{\text{sub,Al-O}} + \Delta m_{\text{red,O}} = 87.1 \text{ нг}/\text{см}^2$ . Таким образом, на традиционное АСО  $\text{Al}_2\text{O}_3$  остается  $23.2 \text{ нг}/\text{см}^2$ , что находится в пределах мономолекулярного слоя, тогда как сверхмонослойный рост происходит по реакции восстановления, в ходе которой  $\text{OH}$ -группы не расходуются.

Таким образом, процесс восстановления оксида молибдена ТМА позволяет объяснить как отклонение  $\chi_{\text{КПМ}}$  от  $\chi_{\text{РФЭС}}$ , так и сверхмонослойный рост на субцикле оксида алюминия. Следует, однако, отметить, что расчетное количество восстановленного за суперцикл триоксида молибдена ( $1.88 \text{ нмоль}/\text{см}^2$ ) превышает его наличное количество, присоединяемое за семь Мо-полуциклов ( $145 \text{ нг}/\text{см}^2$ , что соответствует  $1.01 \text{ нмоль}/\text{см}^2$ ). Это противоречие может объясняться либо более глубоким восстановлением (до степени окисления  $2+$ ), которая в природе встречается редко и не обнаружена в РФЭС, что легко объяснить окислением на воздухе), либо уменьшением числа  $\text{OH}$ -групп в ходе Al-субцикла (в данном случае влияние этого процесса на изменение массы сопоставимо с влиянием восстановления). В любом случае можно утверждать, что процесс восстановления молибдена ТМА согласуется со всеми имеющимися наблюдениями на полуколичественном уровне.

## ЗАКЛЮЧЕНИЕ

Таким образом, в данной работе с привлечением известных физико-химических подходов к выбору прекурсоров и режимов процесса АСО разработана новая программа синтеза алюминий-молибденовых оксидных пленок с использованием ТМА, оксотетрахлорида молибдена и воды. Полученные пленки были исследованы *in situ* и *ex situ* с привлечением комплекса современных методов анализа. Пленки имели аморфную структуру. *In situ*-мониторинг роста пленок показал высокую реакционную способность  $\text{MoOCl}_4$  в процессах роста  $\text{Al}_x\text{Mo}_y\text{O}_z$  и перспективность его использования для получения других смешанных оксидов.

Анализ КПМ-данных показал, что в процессах 1Al1MoO и 1Al7MoO в каждом суперцикле к поверхности присоединяются два алюминийоксидных монослоя, а присоединение молибденоксидных слоев происходит в субмонослоином режиме для процесса 1Al1MoO и сопровождается присоединением двух мономолекулярных молибденоксидных слоев для 1Al7MoO.

Анализ РФЭС-данных полученных пленок указывает на частичное восстановление  $\text{Mo}^{6+}$  до  $\text{Mo}^{5+}$  и  $\text{Mo}^{4+}$  в процессе роста пленки, что связано с восстановительной способностью ТМА.

Анализ данных рентгеновской рефлектометрии показал, что плотности и постоянные роста для полученных пленок имели значения, близкие к ожидаемым, рассчитанным с использованием РФЭС и КПМ-данных соответственно.

Выявленные закономерности формирования алюминий-молибденовых оксидных пленок на поверхности кремниевой подложки могут способствовать пониманию процессов “конверсии” и окислительно-восстановительных процессов, связанных с присутствием ТМА в реакционной системе, а также более детальному анализу ростовых характеристик процессов АСО многокомпонентных оксидных пленок.

### ФИНАНСИРОВАНИЕ РАБОТЫ

Работа выполнена при финансовой поддержке Министерства науки и высшего образования РФ (Государственное задание FZNZ-2020-0002).

### СПИСОК ЛИТЕРАТУРЫ

1. Matsumoto Y., Shimanouchi R. Synthesis of  $\text{Al}_2(\text{MoO}_4)_3$  by Two Distinct Processes, Hydrothermal Reaction and Solid-State Reaction // Procedia Eng. 2016. V. 148. P. 158–162.  
<https://doi.org/10.1016/j.proeng.2016.06.507>
2. Davis B.E., Strandwitz N.C. Aluminum Oxide Passivating Tunneling Interlayers for Molybdenum Oxide Hole-Selective Contacts // IEEE J. Photovolt. 2020. V. 10. № 3. P. 722–728.  
<https://doi.org/10.1109/jphotov.2020.2973447>
3. Chowdhury S., Khokhar M.Q., Pham D.Ph., Yi J.  $\text{Al}_2\text{O}_3/\text{MoO}_x$  Hole-Selective Passivating Contact for Silicon Heterojunction Solar Cell // ECS J. Solid State Sci. Technol. 2022. V. 11. № 1. P. 015004.  
<https://doi.org/10.1149/2162-8777/ac4d83>
4. Харлампова Р.Н., Зайдман Н.М., Плясова Л.М., Митрова Л.П., Нагаева Л.А., Шкарин А.В. Дисперсность активного компонента в алюмомолибденовых катализаторах // Кинетика и катализ. 1973. Т. 14. № 6. С. 1538–1543.
5. Haber J. The Role of Molybdenum in Catalysis. London: Climax Molybdenum Co, 1981. P. 479.
6. Gasonoo A., Ahn H.-S., Jang E.-J., Kim M.-H., Gwag J.S., Lee J.-H., Choi Y. Fabrication of Multi-Layer Metal Oxides Structure for Colored Glass // Materials. 2021. V. 14. P. 2437.  
<https://doi.org/10.3390/ma14092437>
7. Dondi M., Matteucci F., Baldi G., Barzanti A., Cruciani G., Zama I., Bianchi C.L. Gray–Blue  $\text{Al}_2\text{O}_3\text{–MoO}_x$  Ceramic Pigments: Crystal Structure, Colouring Mechanism and Performance // Dyes Pigm. 2008. V. 76. № 1. P. 179–186.  
<https://doi.org/10.1016/j.dyepig.2006.08.021>
8. Erdemir A. A Crystal-Chemical Approach to Lubrication by Solid Oxides // Tribol. Lett. 2000. V. 8. № 2–3. P. 97–102.  
<https://doi.org/10.1023/A:1019183101329>
9. Erdemir A. A Crystal Chemical Approach to the Formulation of Self-Lubricating Nanocomposite Coatings // Surf. Coat. Technol. 2005. V. 200. № 5–6. P. 1792–1796.  
<https://doi.org/10.1016/j.surfcoat.2005.08.054>
10. Vitale S.A., Hu W., D’Onofrio R., Soares T., Geis M.W. Interface State Reduction by Plasma-Enhanced ALD of Homogeneous Ternary Oxides // ACS Appl. Mater. Interfaces. 2020. V. 12. № 38. P. 43250–43256.  
<https://doi.org/10.1021/acsami.0c11882>
11. Кольцов С.И., Алексовский В.Б. Некоторые закономерности реакций МН // Тез. докл. Науч.-техн. конф. ЛТИ им. Ленсовета. Ленинград. 1965. С. 67.
12. Малыгин А.А. С.И. Кольцов – главный создатель метода молекулярного наслаждания // Сб. тез. докл. III Междунар. семинара “Атомно-слоевое осаждение: Россия, 2021”. Санкт-Петербург. 2021. С. 13–14.
13. Mackus A.J.M., Schneider J.R., MacIsaac C., Baker J.G., Bent S.F. Synthesis of Doped, Ternary, and Quaternary Materials by Atomic Layer Deposition: A Review // Chem. Mater. 2019. V. 31. № 4. P. 1142–1183.  
<https://doi.org/10.1021/acs.chemmater.8b02878>
14. Profijt H.B., Potts S.E., Van de Sanden M.C.M., Kessels W.M.M. Plasma-Assisted Atomic Layer Deposition: Basics, Opportunities, and Challenges // Vac. Sci. Technol. A. 2011. V. 29. № 5. P. 050801.  
<https://doi.org/10.1116/1.3609974>
15. Ponraj J.S., Attolini G., Bosi M. Review on Atomic Layer Deposition and Applications of Oxide Thin Films // Crit. Rev. Solid State Mater. Sci. 2013. V. 38. № 3. P. 203–233.  
<https://doi.org/10.1080/10408436.2012.736886>
16. Diskus M., Nilsen O., Fjellva H. Growth of Thin Films of Molybdenum Oxide by Atomic Layer Deposition // J. Mater. Chem. 2011. V. 21. P. 705–710.  
<https://doi.org/10.1039/C0JM01099E>
17. Drake T.L., Stair P.C. Vapor Deposition of Molybdenum Oxide Using Bis(ethylbenzene) Molybdenum and Water // Vac. Sci. Technol. A. 2016. V. 34. P. 051403.  
<https://doi.org/10.1116/1.4959532>
18. Jurca T., Peters A.W., Mouat A.R., Farha O.K., Hupp J.T., Lohr T.L., Delferro M., Marks T.J. Second-Generation Hexavalent Molybdenum Oxo-Amidinate Precursors for Atomic Layer Deposition // Dalton Trans. 2017. V. 46. P. 1172–1178.  
<https://doi.org/10.1039/C6DT03952A>
19. Vos M.F.J., Macco B., Thissen N.F.W., Bol A.A., Kessels W.M.M. Atomic Layer Deposition of Molybdenum Oxide from  $(\text{NtBu})_2(\text{NMe}_2)_2\text{Mo}$  and  $\text{O}_2$  Plasma // Vac. Sci. Technol. A. 2016. V. 34. P. 01A103.  
<https://doi.org/10.1116/1.4930161>
20. Mattinen M., King P.J., Khrachtccheva L., Heikkilä M.J., Fleming B., Rushworth S., Mizohata K., Meinander K., Räisänen J., Ritala M., Leskelä M. Atomic Layer Deposition of Crystalline Molybdenum Oxide Thin Films and Phase Control by Post-Deposition Annealing // Mater. Today Chem. 2018. V. 9. P. 17–27.  
<https://doi.org/10.1016/j.mtchem.2018.04.005>

21. Mouat A.R., Mane A.U., Elam J.W., Delferro M., Marks T.J., Stair P.C. Volatile Hexavalent Oxo-Amide Complexes: Molybdenum and Tungsten Precursors for Atomic Layer Deposition // *Chem. Mater.* 2016. V. 28. № 6. P. 1907–1919.  
<https://doi.org/10.1021/acs.chemmater.6b00248>
22. Kvalvik J.N., Borgersen J., Hansen P.-A., Nilsen O. Area-Selective Atomic Layer Deposition of Molybdenum Oxide // *Vac. Sci. Technol. A.* 2020. V. 38. P. 042406.  
<https://doi.org/10.1116/6.0000219#suppl>
23. Maksumova A.M., Abdulagatov I.M., Palchaev D.K., Rabadanov M.Kh., Abdulagatov A.I. Studying the Atomic Layer Deposition of Molybdenum Oxide and Titanium–Molybdenum Oxide Films Using Quartz Crystal Microbalance // *Russ. J. Phys. Chem. A.* 2022. V. 96. № 10. P. 2206–2214.  
<https://doi.org/10.31857/S0044453722100181>
24. Haynes W.M. *CRC Handbook of Chemistry and Physics*. 95ed. Boca Raton: CRC, 2014. P. 4–77.
25. Pershina V., Fricke B. Group 6 Oxychlorides  $MCl_4$ , where  $M = Mo$ ,  $W$ , and Element 106 (Sg): Electronic Structure and Thermochemical Stability // *Russ. J. Phys. Chem.* 1995. V. 99. № 1. P. 144–147.
26. Elam J.W., Groner M.D., George S.M. Viscous Flow Reactor with Quartz Crystal Microbalance for Thin Film Growth by Atomic Layer Deposition // *Rev. Sci. Instrum.* 2002. V. 73. № 8. P. 2981–2987.  
<https://doi.org/10.1063/1.1490410>
27. Абдулагатов А.И., Максумова А.М., Палчаев Д.К., Рабаданов М.Х., Абдулагатов И.М. Атомно-слоевое осаждение и термические превращения алюминий–ванадиевых оксидных тонких пленок // *ЖХХ*. 2022. Т. 92. № 8. С. 1310–1324.  
<https://doi.org/10.31857/S0044460X22080182>
28. Wind R.A., George S.M. Quartz Crystal Microbalance Studies of  $Al_2O_3$  Atomic Layer Deposition Using Trimethylaluminum and Water at  $125^\circ C$  // *J. Phys. Chem. A.* 2010. V. 114. № 3. P. 1281–1289.  
<https://doi.org/10.1021/jp9049268>
29. Максумова А.М., Абдулагатов И.М., Палчаев Д.К., Рабаданов М.Х., Абдулагатов А.И. Исследование процесса атомно-слоевого осаждения оксида молибдена и титан–молибденовых оксидных пленок методом кварцевого пьезоэлектрического микровзвешивания // *ЖФХ*. 2022. Т. 96. № 10. С. 1490–1498.  
<https://doi.org/10.31857/S0044453722100181>
30. Groner M.D., Fabreguette F.H., Elam J.W., George S.M. Low-Temperature  $Al_2O_3$  Atomic Layer Deposition // *Chem. Mater.* 2004. V. 16. № 4. P. 639–645.  
<https://doi.org/10.1021/cm0304546>
31. Larsson F., Keller J., Primetzhofer D., Riekehr L., Edoff M., Törndahl T. Atomic Layer Deposition of Amorphous Tin-Gallium Oxide Films // *J. Vac. Sci. Technol. A.* 2019. V. 37. № 3. P. 030906.  
<https://doi.org/10.1116/1.5092877>
32. Mackus A.J.M., Schneider J.R., MacIsaac C., Baker J.G., Bent S.F. Synthesis of Doped, Ternary, and Quaternary Materials by Atomic Layer Deposition: A Review // *Chem. Mater.* 2019. V. 31. № 4. P. 1142–1183.  
<https://doi.org/10.1021/acs.chemmater.8b02878>
33. Myers T.J., Cano A.M., Lancaster D.K., Clancey J.W., George S.M. Conversion Reactions in Atomic Layer Processing with Emphasis on  $ZnO$  Conversion to  $Al_2O_3$  by Trimethylaluminum // *J. Vac. Sci. Technol. A.* 2021. V. 39. № 2. P. 021001.  
<https://doi.org/10.1116/6.0000680>
34. DuMont J.W., Marquardt A.E., Cano A.M., George S.M. Thermal Atomic Layer Etching of  $SiO_2$  by a “Conversion-Etch” Mechanism Using Sequential Reactions of Trimethylaluminum and Hydrogen Fluoride // *ACS Appl. Mater. Interfaces*. 2017. V. 9. № 11. P. 10296–10307.  
<https://doi.org/10.1021/acsami.7b01259>
35. Coll M., Napari M. Atomic Layer Deposition of Functional Multicomponent Oxides // *Appl. Mater.* 2019. V. 7. № 11. P. 110901.  
<https://doi.org/10.1063/1.5113656>
36. Абдулагатов А.И., Максумова А.М., Палчаев Д.К., Рабаданов М.Х., Абдулагатов И.М. Атомно-слоевое осаждение и термические превращения титан–ванидиевых оксидных тонких пленок // *ЖПХ*. 2021. Т. 94. № 7. С. 835–848.  
<https://doi.org/10.1134/S1070427221070053>
37. Roessler B., Kleinhennz S., Seppelt K. Pentamethylmolybdenum // *Chem. Commun.* 2000. V. 12. P. 1039–1040.  
<https://doi.org/10.1039/B000987N>
38. Plyuto Yu.V., Babich I.V., Plyuto I.V., Van Langeveld A.D., Moulijn J.A. XPS Studies of  $MoO_3/Al_2O_3$  and  $MoO_3/SiO_2$  Systems // *Appl. Surf. Sci.* 1997. V. 119. № 1–2. P. 11–18.
39. Clayton C.R., Lu Y.C. Electrochemical and XPS Evidence of the Aqueous Formation of  $Mo_2O_5$  // *Surf. Interface*. 1989. V. 14. № 1–2. P. 66–70.
40. Choi J.G., Thompson L.T. XPS Study of As-Prepared and Reduced Molybdenum Oxides // *Appl. Surf. Sci.* 1996. V. 93. № 2. P. 143–149.  
<https://doi.org/10.1063/1.370690>
41. Baltrusaitis J., Mendoza-Sanchez B., Fernandez V., Veenstra R., Dukstiene N., Roberts A., Fairley N. Generalized Molybdenum Oxide Surface Chemical State XPS Determination via Informed Amorphous Sample Model // *Appl. Surf. Sci.* 2015. V. 326. P. 151–161.  
<https://doi.org/10.1016/j.apsusc.2014.11.077>
42. *NIST Standard Reference Database*.
43. Bellenger F., Houssa M., Delabie A., Afanasiev V., Conard T., Caymax M., Meuris M., Meyer K.De., Heyns M.M. Passivation of  $Ge(100)/GeO_2/\text{high-k}$  Gate Stacks Using Thermal Oxide Treatments // *J. Electrochem. Soc.* 2008. V. 155. № 2. P. G33–G38.  
<https://doi.org/10.1149/1.2819626>
44. Abdulagatov A.I., Sharma V., Murdzek J.A., Cavanagh A.S., George S.M. Thermal Atomic Layer Etching of Germanium-Rich SiGe Using an Oxidation and “Conversion-Etch” Mechanism // *J. Vac. Sci. Technol. A.* 2021. V. 39. № 2. P. 022602.  
<https://doi.org/10.1116/6.0000834>